

КРИСТАЛЛИЧЕСКАЯ И МАГНИТНАЯ СТРУКТУРЫ МАНГАНИТОВ $\text{La}_{1-x}\text{Bi}_x\text{MnO}_{3+\delta}$

V. A. Хомченко*, И. О. Троянчук, О. С. Мантыцкая

*Объединенный институт физики твердого тела и полупроводников
Национальной академии наук Беларусь
220072, Минск, Беларусь*

M. Tovar**

*Берлинский центр нейтронографических исследований, Институт Хана-Мейтнер
D-14109, Берлин, Германия*

Г. Шимчак***

*Институт физики Польской академии наук
02-668, Варшава, Польша*

Поступила в редакцию 2 января 2006 г.

Проведено исследование кристаллической и магнитной структур, а также магнитных свойств манганитов $\text{La}_{1-x}\text{Bi}_x\text{MnO}_{3+\delta}$ ($0.4 \leq x \leq 0.6$; $0 \leq \delta \leq 0.06$). Показано, что стехиометрические по кислороду твердые растворы являются орбитально упорядоченными антиферромагнетиками *A*-типа. Установлено, что увеличение содержания кислорода выше стехиометрического, инициирующее появление в решетке первовсита ионов Mn^{4+} , приводит к снятию кооперативных ян-теллеровских искажений и возникновению дальнего ферромагнитного упорядочения, разрушающегося при дальнейшем возрастании концентрации четырехвалентных ионов марганца. Тенденция к разрушению ферромагнитного порядка усиливается по мере увеличения содержания висмута. Магнитные свойства интерпретируются в рамках модели сверхобменных взаимодействий в предположении наличия локальных искажений решетки, обусловленных анизотропной направленностью химических связей $6s^2$ (Bi^{3+})– $2p^6$ (O^{2-}).

PACS: 75.30.Kz, 75.47.Lx, 61.50.Ks

1. ВВЕДЕНИЕ

Сложные магнитные оксиды на основе марганца проявляют большое разнообразие физических явлений: эффект колоссального магнитосопротивления, орбитальное и зарядовое упорядочение, структурное и магнитное фазовое расслоение, концентрационные и температурные переходы диэлектрик – металл, антиферромагнетик – ферромагнетик [1, 2], изучение и объяснение которых является одним из наиболее приоритетных направлений современной физики конденсированного состояния. Несмотря на многочисленные исследования, посвященные тематике манганитов, существует целый ряд дискуссионных

вопросов, к которым относится и проблема объяснения магнитных свойств манганитов, содержащих висмут. В то время как манганиты лантана и редкоземельных элементов LnMnO_3 являются антиферромагнетиками, манганит висмута BiMnO_3 характеризуется ферромагнитным упорядочением спиновых магнитных моментов ионов Mn^{3+} . Кроме того, если замещение лантаноида щелочноземельным металлом (Ca^{2+} , Sr^{2+} , Ba^{2+}), индуцирующее появление четырехвалентных ионов марганца, приводит к переходу от антиферромагнитного диэлектрического к ферромагнитному металлическому состоянию [3, 4], то аналогичное замещение для манганитов на основе BiMnO_3 разрушает ферромагнитный порядок [5, 6].

*E-mail: khomchen@ifttp.bas-net.by

**M. Tovar

***H. Szymczak

Считается, что ферромагнетизм в BiMnO_3 ($T_C = 105$ K) обусловлен спецификой упорядочения

d_{z^2} -орбиталей ионов Mn^{3+} [7]. Кристаллическая структура данного соединения описывается в моноклинной пространственной группе $C2$, где существуют три неэквивалентные позиции катионов марганца. Каждый из трех полизэдов MnO_6 характеризуется осевым удлинением, типичным для ян-теллеровских катионов в структурах перовскита. При этом взаимное пространственное расположение d_{z^2} -орбиталей таково, что две трети от общего числа обменных связей являются положительными и результирующая структура оказывается ферромагнитной. Специфика кристаллической структуры и орбитального упорядочения в $BiMnO_3$ обусловлена стереохимией изолированной пары $6s^2$ -электронов ионов Bi^{3+} [7], играющей ключевую роль в возникновении спонтанного дипольного упорядочения ниже сегнетоэлектрической температуры Кюри $T_E = 770$ К [8].

В отличие от мanganита висмута, в $LaMnO_3$ d_{z^2} -орбитали упорядочиваются антиферродисторсионно, что проявляется в O' -орторомбической структуре кристалла (пространственная группа $Pnma$) [9]. Антиферродисторсионное орбитальное упорядочение приводит к формированию антиферромагнитной структуры A -типа, возникающей ниже $T_N = 140$ К [10].

Принимая во внимание кардинальные различия в типах орбитального упорядочения и магнитной структуры мanganитов висмута и лантана, изучение кристаллоструктурных характеристик и физических свойств твердых растворов на их основе представляет особенный интерес. Предыдущие исследования содержащих висмут мanganитов лантана позволили выявить эволюцию их магнитных и транспортных свойств при изменении катион-катионного и катион-анионного соотношений [11, 12]. Построены магнитные фазовые диаграммы систем $La_{1-x}Bi_xMnO_3$ и $La_{1-x}Bi_xMnO_{3.07}$ [11]. Вместе с тем детальный анализ взаимосвязи между длинами и углами химических связей, магнитной структурой и магнитными свойствами мanganитов $La_{1-x}Bi_xMnO_{3+\delta}$ ранее не проводился. В данной работе представлены результаты нейтронографического исследования кристаллической и магнитной структур твердых растворов $La_{1-x}Bi_xMnO_{3+\delta}$ вблизи середины концентрационного интервала катионного замещения.

2. МЕТОДИКА ЭКСПЕРИМЕНТА

Синтез поликристаллических образцов $La_{1-x}Bi_xMnO_{3+\delta}$ проводился методом твердо-

фазных реакций. В качестве исходных реагентов использовались оксиды La_2O_3 , Bi_2O_3 и Mn_2O_3 . Смесь оксидов, взятых в необходимом катионном соотношении, отжигалась на воздухе при температуре 950 °C в течение 1 ч с последующей закалкой. Данная методика позволила получить однофазные образцы, содержащие до 60 % ионов висмута в A -подрешетке перовскита ABO_3 . Выше указанной концентрации катионов висмута синтез беспримесных перовскитов требует применения техники высоких давлений [11, 12]. Содержание кислорода в синтезированных образцах определялось методом термогравиметрического анализа путем определения потери массы при восстановлении до оксидов $La_2Bi_2O_6$ и MnO . В результате выполненного исследования было установлено, что содержание кислорода в полученных образцах превышает стехиометрическое значение и соответствует химической формуле $La_{1-x}Bi_xMnO_{3.06 \pm 0.01}$. Восстановление образцов проводилось путем отжига в потоке аргона при температуре 900 °C в течение 1 ч. Потеря кислорода в восстановленных образцах контролировалась путем их взвешивания до и после реакции восстановления.

Рентгеноструктурный анализ выполнялся на дифрактометре ДРОН-3М в K_α -излучении Си. Магнитные свойства образцов исследовались с помощью вибрационного магнитометра ОИ-3001 в температурном интервале 4.2 К $\leq T \leq 300$ К в полях до 15 кЭ. При проведении измерений температурных зависимостей намагниченности использовались режимы нагрева образцов после охлаждения в отсутствие поля (ZFC) и после охлаждения в поле измерения (FC). Нейтронографические исследования были проведены в Берлинском нейтронографическом центре (BENSC) Института Хана-Мейтнер на нейтронном порошковом дифрактометре высокого разрешения E9 (FIREPOD) с длиной волны $\lambda = 1.7971$ Å. Обработка данных проводилась методом Ритвельда с помощью программы FullProf [13].

3. РЕЗУЛЬТАТЫ И ОБСУЖДЕНИЕ

Результаты рентгеновской дифракции свидетельствуют о том, что мanganиты $La_{1-x}Bi_xMnO_{3+\delta}$ ($0.4 \leq x \leq 0.6$; $0 \leq \delta \leq 0.06$) характеризуются орторомбическим типом искажения кристаллической решетки (пространственная группа $Pnma$). В твердых растворах, содержащих избыток кислорода, элементарная ячейка является O -орторомбической ($b/\sqrt{2} \approx c \approx a$). Стехиометрические по кислороду

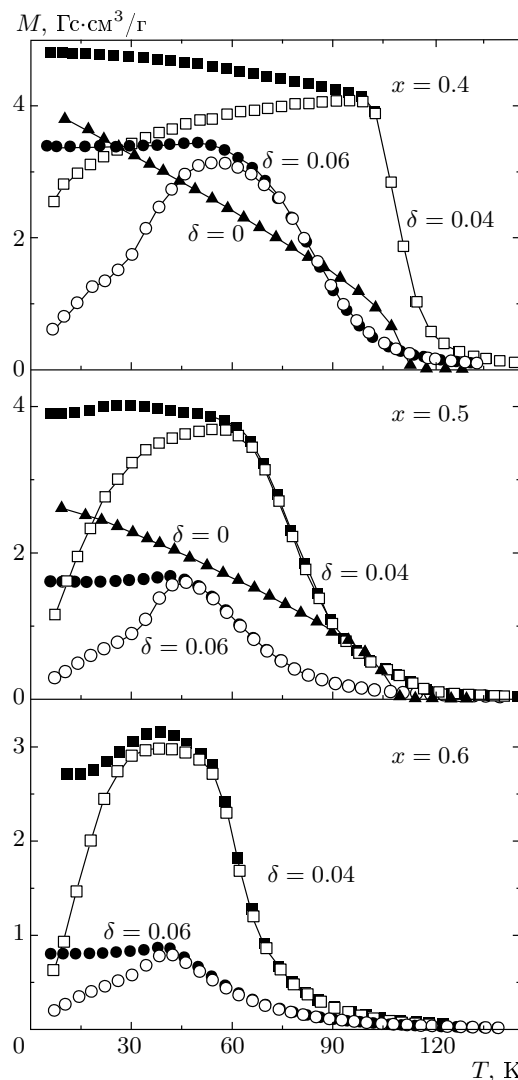


Рис. 1. Температурные зависимости удельной намагниченности (режим ZFC — светлые символы, режим FC — темные символы) для образцов $\text{La}_{1-x}\text{Bi}_x\text{MnO}_{3+\delta}$ ($0.4 \leq x \leq 0.6$; $0 \leq \delta \leq 0.06$), полученные в поле 100 Э

образцы имеют O' -орторомбическую ($b/\sqrt{2} < c < a$) решетку. По мере увеличения содержания кислорода объем элементарной ячейки уменьшается, что должно быть связано с переходом ионов марганца из трехвалентного в четырехвалентное состояние, характеризуемое меньшим ионным радиусом [14].

Магнитные свойства твердых растворов $\text{La}_{1-x}\text{Bi}_x\text{MnO}_{3+\delta}$ ($0.4 \leq x \leq 0.6$; $0 \leq \delta \leq 0.06$) существенно зависят от концентрации кислорода. Образец $\text{La}_{0.6}\text{Bi}_{0.4}\text{MnO}_{3.06}$, приготовленный на воздухе, характеризуется температурой перехода в парамагнитное состояние $T = 90$ К, тогда как

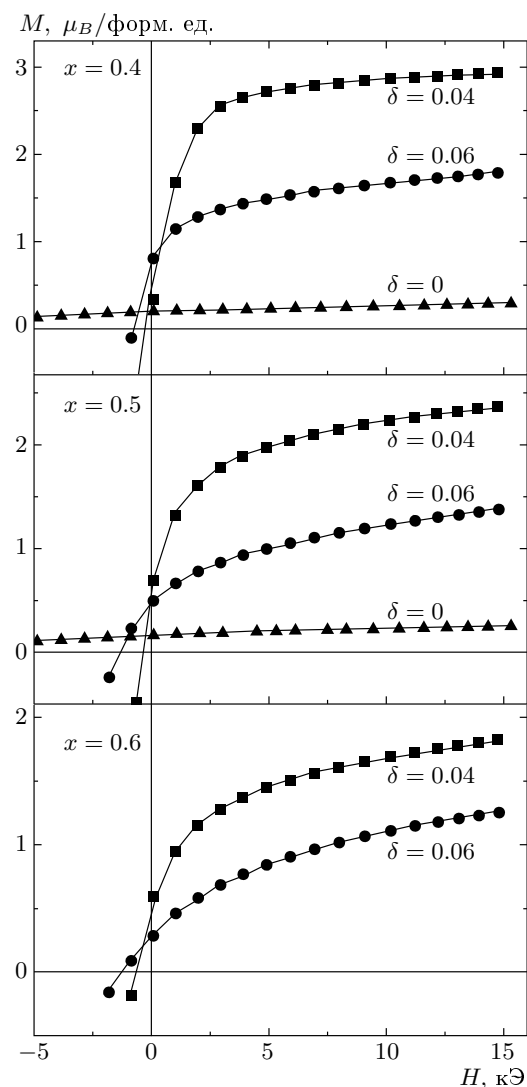


Рис. 2. Полевые зависимости удельной намагниченности для твердых растворов $\text{La}_{1-x}\text{Bi}_x\text{MnO}_{3+\delta}$ ($0.4 \leq x \leq 0.6$; $0 \leq \delta \leq 0.06$) при $T = 5$ К, полученные после охлаждения в магнитном поле 15 кЭ

восстановленный образец $\text{La}_{0.6}\text{Bi}_{0.4}\text{MnO}_{3.04}$ показывает более высокую температуру Кюри, равную 110 К (рис. 1). Уменьшение содержания кислорода приводит к увеличению намагниченности с 1.8 до $2.9 \mu_B/\text{форм. ед.}$ в магнитном поле 15 кЭ (рис. 2). Стехиометрический по кислороду твердый раствор $\text{La}_{0.6}\text{Bi}_{0.4}\text{MnO}_3$ характеризуется весьма низкой удельной намагниченностью ($0.3 \mu_B/\text{форм. ед.}$ в поле 15 кЭ) и высокой коэрцитивной силой (более 10 кЭ), при этом переход в парамагнитное состояние ($T_N = 110$ К) является достаточно резким, что характерно для слабых ферромагнетиков [15].

Увеличение концентрации висмута приводит к разрушению ферромагнитного состояния. Для твердого раствора $\text{La}_{0.5}\text{Bi}_{0.5}\text{MnO}_{3.06}$ переход в парамагнитное состояние становится размытым по температуре. На температурной зависимости ZFC-намагниченности при $T_f = 45$ К наблюдается пик. Намагниченность образца не насыщается в относительно высоких магнитных полях и при $H = 15$ кЭ составляет $1.4 \mu_B/\text{форм. ед.}$ Подобные магнитные свойства характерны для спиновых стекол [16]. Восстановление данного образца до $\delta = 0.04$ ведет к увеличению удельной намагниченности и температуры магнитного фазового перехода (рис. 1, 2). Как и в случае стехиометрического по кислороду твердого раствора с $x = 0.4$, магнитные свойства мanganита $\text{La}_{0.5}\text{Bi}_{0.5}\text{MnO}_3$ свидетельствуют о его слабоферромагнитном состоянии.

Температурная и полевая зависимости намагниченности образца $\text{La}_{0.4}\text{Bi}_{0.6}\text{MnO}_{3.06}$ сходны с зависимостями, полученными для твердого раствора $\text{La}_{0.5}\text{Bi}_{0.5}\text{MnO}_{3.06}$ (рис. 1, 2). Уменьшение содержания кислорода до $\delta = 0.04$ приводит к существенному увеличению намагниченности и температуры перехода в парамагнитное состояние, который становится более резким. На температурной зависимости ZFC-намагниченности появляется плато. Такое поведение намагниченности характерно для возвратных спиновых стекол [16].

С целью определения магнитной структуры и выявления кристаллоструктурных особенностей содержащих висмут мanganитов $\text{La}_{1-x}\text{Bi}_x\text{MnO}_{3+\delta}$ было выполнено нейтронографическое исследование ряда образцов с характерными магнитными свойствами. Во всех случаях уточнение кристаллической структуры было выполнено в пространственной группе $Pnma$ с помощью однофазной структурной модели. На рис. 3 видно соответствие между типичными наблюдаемым и расчетным дифракционными профилями. Структурные данные, а также длины и углы связей в октаэдрах MnO_6 , полученные в результате уточнения кристаллической структуры образцов методом Ритвельда, представлены в табл. 1, 2.

Можно видеть, что в случае стехиометрических по кислороду образцов углы связей Mn–O–Mn не превышают 154° . Данные значения близки к величинам углов, которые выявлены в результате нейтронографических исследований, выполненных для соединения LaMnO_3 [9, 17]. Величина углов связей характерна для антиферромагнитных взаимодействий [17]. Октаэдры MnO_6 являются сильно искаженными, причем тип искажений, представляющих собой растяжение октаэдров вдоль одной из трех

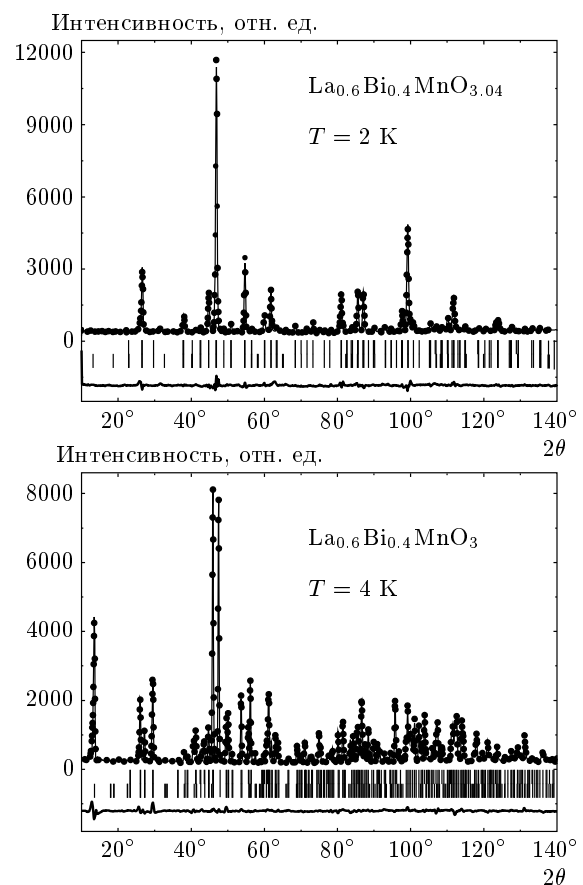


Рис. 3. Наблюдаемый и рассчитанный спектры нейтронной дифракции для образцов $\text{La}_{0.6}\text{Bi}_{0.4}\text{MnO}_{3.04}$ и $\text{La}_{0.6}\text{Bi}_{0.4}\text{MnO}_3$ в магнитоупорядоченной фазе

осей исходной кубической решетки, указывает на антиферродисторсионное упорядочение d_{z^2} -орбиталей ионов Mn^{3+} , присущее LaMnO_3 [9]. В соответствии с правилами сверхобменных взаимодействий [18] данный тип орбитального упорядочения обусловливает формирование A -типа антиферромагнитной структуры, в которой магнитные моменты ионов марганца ($3.52(3)\mu_B$ в образце с $x = 0.4$ и $3.42(3)\mu_B$ в твердом растворе с $x = 0.5$) ферромагнитно упорядочены (вдоль оси x) в пределах антиферромагнитно связанных между собой плоскостей (010).

Нейтронографические исследования, проведенные для образцов $\text{La}_{0.6}\text{Bi}_{0.4}\text{MnO}_{3.04}$ и $\text{La}_{0.4}\text{Bi}_{0.6}\text{MnO}_{3.04}$, не выявили значительных искажений кислородных октаэдров, что свидетельствует о снятии кооперативного статического антиферродисторсионного орбитального упорядочения. Средние величины углов связей для твердых растворов $\text{La}_{0.6}\text{Bi}_{0.4}\text{MnO}_{3.04}$ и $\text{La}_{0.4}\text{Bi}_{0.6}\text{MnO}_{3.04}$ составляют соответственно около 159° и 158° .

Таблица 1. Параметры элементарной ячейки, координаты атомов и показатели соответствия, полученные при уточнении кристаллической структуры образцов $\text{La}_{1-x}\text{Bi}_x\text{MnO}_{3+\delta}$ при различных температурах

Образец	T , К	Размеры ячейки, Å	Атомы	x	y	z	
$\text{La}_{0.6}\text{Bi}_{0.4}\text{MnO}_{3.04}$	200 <i>Pnma</i>	$a = 5.5254(1)$	La/Bi 4c	0.0196(4)	0.25	0.9966(4)	$R_p = 5.38$
		$b = 7.8220(2)$	Mn 4b	0	0	0.5	$R_{wp} = 7.00$
		$c = 5.5475(1)$	O1 4c	0.4923(4)	0.25	0.0692(4)	$R_B = 7.04$
		$\alpha = \beta = \gamma = 90^\circ$	O2 8d	0.2262(5)	0.5358(4)	0.2255(5)	$\chi^2 = 2.94$
	2 <i>Pnma</i>	$a = 5.5315(2)$	La/Bi 4c	0.0202(4)	0.25	0.9945(4)	$R_p = 5.61$
		$b = 7.8230(2)$	Mn 4b	0	0	0.5	$R_{wp} = 7.41$
		$c = 5.5509(2)$	O1 4c	0.4898(5)	0.25	0.0698(5)	$R_B = 7.24$
		$\alpha = \beta = \gamma = 90^\circ$	O2 8d	0.2242(5)	0.5355(4)	0.2276(5)	$\chi^2 = 3.27$
$\text{La}_{0.6}\text{Bi}_{0.4}\text{MnO}_3$	250 <i>Pnma</i>	$a = 5.7731(1)$	La/Bi 4c	0.0550(3)	0.25	0.9929(3)	$R_p = 5.42$
		$b = 7.6565(2)$	Mn 4b	0	0	0.5	$R_{wp} = 7.12$
		$c = 5.4987(1)$	O1 4c	0.4833(4)	0.25	0.0793(4)	$R_B = 5.59$
		$\alpha = \beta = \gamma = 90^\circ$	O2 8d	0.1894(3)	0.5388(2)	0.2199(3)	$\chi^2 = 2.59$
	4 <i>Pnma</i>	$a = 5.7709(2)$	La/Bi 4c	0.0557(4)	0.25	0.9928(4)	$R_p = 6.40$
		$b = 7.6308(2)$	Mn 4b	0	0	0.5	$R_{wp} = 8.88$
		$c = 5.4985(1)$	O1 4c	0.4830(4)	0.25	0.0792(4)	$R_B = 5.20$
		$\alpha = \beta = \gamma = 90^\circ$	O2 8d	0.1892(4)	0.5391(3)	0.2194(4)	$\chi^2 = 3.95$
$\text{La}_{0.5}\text{Bi}_{0.5}\text{MnO}_3$	250 <i>Pnma</i>	$a = 5.7817(2)$	La/Bi 4c	0.0563(4)	0.25	0.9927(4)	$R_p = 5.56$
		$b = 7.6512(2)$	Mn 4b	0	0	0.5	$R_{wp} = 7.49$
		$c = 5.4919(1)$	O1 4c	0.4828(5)	0.25	0.0793(5)	$R_B = 7.08$
		$\alpha = \beta = \gamma = 90^\circ$	O2 8d	0.1885(4)	0.5382(3)	0.2189(4)	$\chi^2 = 2.99$
	4 <i>Pnma</i>	$a = 5.7791(2)$	La/Bi 4c	0.0570(4)	0.25	0.9931(4)	$R_p = 6.77$
		$b = 7.6256(2)$	Mn 4b	0	0	0.5	$R_{wp} = 9.16$
		$c = 5.4922(1)$	O1 4c	0.4826(5)	0.25	0.0799(5)	$R_B = 6.95$
		$\alpha = \beta = \gamma = 90^\circ$	O2 8d	0.1886(4)	0.5390(3)	0.2185(4)	$\chi^2 = 4.35$
$\text{La}_{0.4}\text{Bi}_{0.6}\text{MnO}_{3.04}$	300 <i>Pnma</i>	$a = 5.5420(2)$	La/Bi 4c	0.0207(3)	0.25	1.0222(4)	$R_p = 6.35$
		$b = 7.8415(2)$	Mn 4b	0	0	0.5	$R_{wp} = 8.10$
		$c = 5.5476(2)$	O1 4c	0.4824(5)	0.25	0.0784(5)	$R_B = 7.79$
		$\alpha = \beta = \gamma = 90^\circ$	O2 8d	0.2203(5)	0.5348(4)	0.2280(5)	$\chi^2 = 2.37$
	2 <i>Pnma</i>	$a = 5.5279(2)$	La/Bi 4c	0.0202(4)	0.25	1.0204(4)	$R_p = 7.25$
		$b = 7.8232(2)$	Mn 4b	0	0	0.5	$R_{wp} = 9.27$
		$c = 5.5415(2)$	O1 4c	0.4907(5)	0.25	0.0773(5)	$R_B = 8.50$
		$\alpha = \beta = \gamma = 90^\circ$	O2 8d	0.2266(5)	0.5362(5)	0.2320(5)	$\chi^2 = 4.42$

Известно, что обменные взаимодействия в донированых щелочноземельными ионами мanganитах LaMnO_3 меняют знак с положительного на отрицательный при уменьшении угла связи Mn–O–Mn, при этом критическое значение угла связи составляет $157\text{--}159^\circ$ [19, 20].

Анализ спектров показывает, что в твердом растворе $\text{La}_{0.6}\text{Bi}_{0.4}\text{MnO}_{3.04}$ магнитные моменты ионов

марганца ($2.4(1)\mu_B$) ферромагнитно упорядочиваются вдоль оси y . Рассчитанный магнитный момент значительно меньше ожидаемого в предположении однородного коллинеарного ферромагнитного упорядочения. Оцененный в поле 15 кЭ магнитный момент, равный $2.9\mu_B/\text{форм. ед.}$, предполагает наличие в образце $\text{La}_{0.6}\text{Bi}_{0.4}\text{MnO}_{3.04}$ дополнительной спин-стекольной компоненты. При ней-

Таблица 2. Длины (в ангстремах) и углы связей (в градусах) в октаэдрах MnO_6 для твердых растворов $\text{La}_{1-x}\text{Bi}_x\text{MnO}_{3+\delta}$ при различных температурах

Образец	$T, \text{ К}$	Длина связи, Å			Угол связи	
		Mn–O1 (m)	Mn–O2 (s)	Mn–O2 (l)	Mn–O1–Mn	Mn–O2–Mn
$\text{La}_{0.6}\text{Bi}_{0.4}\text{MnO}_{3.04}$	200	1.993	1.983	1.990	157.65°	160.40°
	2	1.995	1.975	2.000	157.36°	160.56°
$\text{La}_{0.6}\text{Bi}_{0.4}\text{MnO}_3$	250	1.966	1.912	2.183	153.73°	153.47°
	4	1.959	1.914	2.182	153.65°	153.31°
$\text{La}_{0.5}\text{Bi}_{0.5}\text{MnO}_3$	250	1.964	1.912	2.185	153.72°	153.33°
	4	1.959	1.915	2.183	153.43°	153.10°
$\text{La}_{0.4}\text{Bi}_{0.6}\text{MnO}_{3.04}$	300	2.010	1.960	2.019	154.38°	160.31°
	2	2.003	1.963	2.004	155.13°	161.07°

tronографическом исследовании твердого раствора $\text{La}_{0.4}\text{Bi}_{0.6}\text{MnO}_{3.04}$ когерентного магнитного вклада в рассеяние нейтронов достоверно выявить не удалось. Отсутствие когерентного магнитного вклада при $T = 2 \text{ К}$ и результаты магнитных измерений (рис. 1, 2) свидетельствуют о том, что при гелиевой температуре образец $\text{La}_{0.4}\text{Bi}_{0.6}\text{MnO}_{3.04}$ является спиновым стеклом. Возможно, в температурном интервале от 30 до 60 К в данном образце существует дальний ферромагнитный порядок, разрушающийся при понижении температуры вследствие фрустрации обменных связей.

Таким образом, стехиометрические твердые растворы $\text{La}_{1-x}\text{Bi}_x\text{MnO}_3$ ($0.4 \leq x \leq 0.5$) по типу орбитального и магнитного упорядочения сходны с соединением LaMnO_3 . Увеличение содержания кислорода выше стехиометрического влечет за собой возникновение дальнего ферромагнитного порядка, разрушающегося при последующем увеличении концентрации четырехвалентных ионов марганца. Тенденция к разрушению ферромагнитного порядка и установлению спин-стекольного состояния усиливается по мере увеличения содержания ионов Bi^{3+} .

Данные нейтронной дифракции свидетельствуют о том, что замещение в BiMnO_3 ионов Bi^{3+} ионами La^{3+} приводит к разрушению обусловливающего ферромагнетизм орбитального упорядочения и возникновению орбитальной структуры, присущей соединению LaMnO_3 . В соответствии с правилами сверхобменных взаимодействий [18] допиривание твердых растворов $\text{La}_{1-x}\text{Bi}_x\text{MnO}_3$ четырехвалентными ионами марганца путем создания нестехиометрии по кислороду должно приводить

к возникновению ферромагнетизма, однако эксперимент выявляет спин-стекольное состояние ряда нестехиометрических образцов $\text{La}_{1-x}\text{Bi}_x\text{MnO}_{3+\delta}$. Причиной возникновения состояния спинового стекла в мanganитах со структурой перовскита является наличие структурного беспорядка или конкуренции обменных взаимодействий разных знаков. В $\text{LaMnO}_{3+\delta}$ спин-стекольное поведение, проявляющееся в результате увеличения числа вакансий на кристаллоструктурных позициях ионов марганца, имеющего место при возрастании содержания кислорода (избыток кислорода в $\text{LaMnO}_{3+\delta}$ размещается путем образования равного количества вакансий в A - и B -подрешетках перовскита ABO_3 [21]), возникает при $\delta \sim 0.15$ [22]. В мanganитах $\text{La}_{1-x}\text{Bi}_x\text{MnO}_{3+\delta}$ спин-стекольная фаза появляется при значительно меньших концентрациях катионных вакансий. Принимая во внимание, что тенденция к разрушению дальнего ферромагнитного упорядочения по мере увеличения концентрации ионов Mn^{4+} наблюдается не только для нестехиометрических по кислороду твердых растворов $\text{La}_{1-x}\text{Bi}_x\text{MnO}_{3+\delta}$, но и для замещенных мanganитов $\text{Bi}_{1-x}\text{A}_x\text{MnO}_3$ ($\text{A} = \text{Ca}^{2+}, \text{Sr}^{2+}$ и др.) [5, 6], можно сделать вывод, что состояние спинового стекла является следствием сосуществования антиферромагнитных и ферромагнитных взаимодействий. Учитывая, что увеличение концентрации ионов Bi^{3+} способствует разрушению дальнего ферромагнитного порядка, можно предположить, что локальные искажения кислородных октаэдров, связанные с тенденцией изолированной пары $6s^2$ -электронов Bi^{3+} к гибридизации с $2p$ -орбиталами кислорода [7, 12],

способствуют созданию фрустрированных связей, обусловливающих возникновение спин-стекольного состояния. Для проверки данной гипотезы необходимо проведение исследований локальной структуры мanganитов $\text{La}_{1-x}\text{Bi}_x\text{MnO}_{3+\delta}$ с применением методов рентгеноспектрального анализа.

Работа выполнена при финансовой поддержке Белорусского республиканского фонда фундаментальных исследований (проект Ф04-025).

ЛИТЕРАТУРА

1. E. Dagotto, T. Hotta, and A. Moreo, Phys. Rep. **344**, 1 (2001).
2. E. L. Nagaev, Phys. Rep. **346**, 387 (2001).
3. A. Urushibara, Y. Moritomo, T. Arima et al., Phys. Rev. B **51**, 14103 (1995).
4. P. Schiffer, A. P. Ramirez, W. Bao, and S.-W. Cheong, Phys. Rev. Lett. **75**, 3336 (1995).
5. H. Chiba, T. Atou, and Y. Syono, J. Sol. St. Chem. **132**, 139 (1997).
6. И. О. Троянчук, О. С. Мантыцкая, А. Н. Чобот, ФТТ **44**, 2164 (2002).
7. A. Moreira dos Santos, A. K. Cheetham, T. Atou et al., Phys. Rev. B **66**, 064425 (2002).
8. T. Kimura, S. Kawamoto, I. Yamada et al., Phys. Rev. B **67**, 180401(R) (2003).
9. J. Rodriguez-Carvajal, M. Hennion, F. Moussa et al., Phys. Rev. B **57**, R3189 (1998).
10. E. O. Wollan and W. C. Koehler, Phys. Rev. **100**, 545 (1955).
11. И. О. Троянчук, О. С. Мантыцкая, Г. Шимчак, М. Ю. Шведун, ФНТ **28**, 790 (2002).
12. Y. D. Zhao, J. Park, R.-J. Jung et al., J. Magn. Magn. Mater. **280**, 404 (2004).
13. J. Rodriguez-Carvajal, Physica B **192**, 55 (1993).
14. R. D. Shannon, Acta Crystallogr., Sect. A: Cryst. Phys., Diffraction Theory. General Crystallography **A32**, 751 (1976).
15. I. Dzyaloshinsky, J. Phys. Chem. Sol. **4**, 241 (1958).
16. И. Я. Коренблит, Е. Ф. Шендер, *Спиновые стекла*, Знание, Москва (1984).
17. Q. Huang, A. Santoro, J. W. Lynn et al., Phys. Rev. B **55**, 14987 (1997).
18. J. B. Goodenough, Phys. Rev. **100**, 564 (1955).
19. F. Rivadulla, M. A. Lopez-Quintela, J. Mira, and J. Rivas, Phys. Rev. B **64**, 052403 (2001).
20. J. Blasco, J. Garcia, J. M. De Teresa et al., J. Phys.: Condens. Matter **8**, 7427 (1996).
21. J. A. M. Van Roosmalen, E. H. P. Cordfunke, R. B. Helmholdt, and H. W. Zandbergen, J. Sol. St. Chem. **110**, 100 (1994).
22. C. Ritter, M. R. Ibarra, J. M. De Teresa et al., Phys. Rev. B **56**, 8902 (1997).